

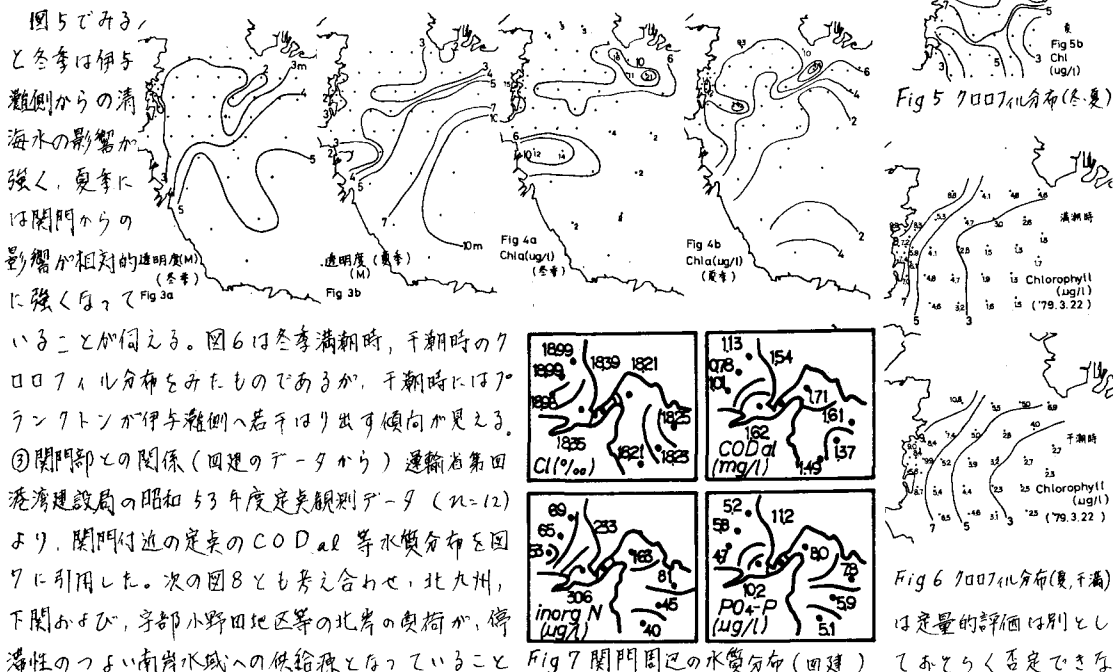
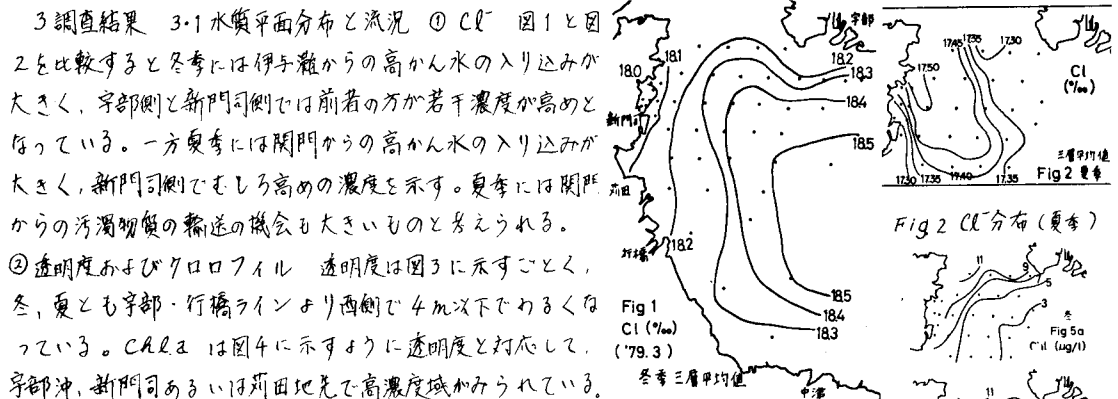
山口大学工学部 正員 濱田正夫 正員 中西 弘
九州理工専門学校 正員 河合泰治

1はじめに 本稿では周防灘の富栄養化シミュレーションのために行った水質調査の成果の概要を報告する。調査の目的は、i)検証用データ (BOX 平均濃度など) ii)流況や汚濁物質の輸送に関する参考資料、iii) COD 濃度の中味の検討、iv)諸係数値の設定 (COD 生産速度、分解速度など) 等であるが、ここでは主に ii) 以下についてとりあげる。なお調査は北九州市港湾局の協力を得て、九州環境管理協会と協同して行った。

2調査方法 ①調査海域 対象海域は主として宇部・中津ラインより西、小野田・東明司ラインより南側である。
②調査時期 冬季は昭和54年2～3月に5回、夏季は昭和54年7～9月に13回の採水を行った。

③調査方法 採水はバンドーン採水器を用い、表層；中層（底層採水深の $\frac{1}{2}$ ），底層（+1m）の3層より行った。一次生産量の測定は表層，Tr，2Tr水深より採水し，擬似現場法にて明暗センサ測定法により行った。

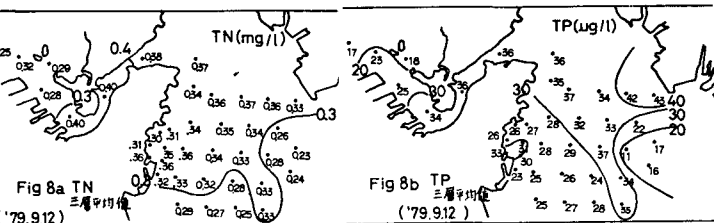
3 調査結果 3.1 水質平面分布と流況 ① Cl^- 図1と図



25

いと思われる。

3.2 水質連続調査 水質の変動状況を把握するため、夏季新門司地先の4地点について15日間連続水質調査がなされたが、その1例を図9に示す。この



辺りは非常にさきあかりの起りやすい ('79.9.12) 海域であるが、図でみると少くとも夏季にあり水質変動の主因は植物プランクトンの消長であり、しかも日々かなり激しい変動を示すことに注意が必要である。冬に比較すると確かに東の方が水質の変化は激しいようである。⁷⁰ プランクトンは小潮で風の穂やから日によく増加し、海へ流れると減少する傾向が認められる。また溶解性のCODにもその消長が影響している。

3.3 水質項目間の関係 ①一般的傾向 55分に関する項目を主体にして、各項目間の関係を調査日ごとの平均値として表1にまとめた。一般的傾向として i) 55分の割合は CODで30~40%, Nで30%前後, Pで30~60%程度である。これらは沈殿度の設定に役立つ。ii) プランクトン主体の場合には,

Chlaとss COD, ssN, ssP の比はそれぞれ2%, 10%, 100%前後である。また ss COD/ss Pは50程度, ssN/ss Pは10程度である。Fig 9 新門司地先の夏季水質変動

で、TOD/COD=3とみて、植物プランクトンのTOD

/P = 150, TOD/N = 15となり、常用している1/43, 1/9.7と比較してますますの値である。iii) Chla/T

N, Chla/Pは調査の平均値としては2.4%, 2.2%

であるが、変換率100%に相当する値は ss COD/Ch

la = 100として、前者で6.6%, 後者で48%であ

るから、当海域のN, Pの55%性TODへの変換率はNで36%, Pで46%

%といふことになる。実際は溶解性成分も生産されるからこれより高い。

②地域的分布 図10に示すように ss COD/CODは新門司側で高く、流

況のよい沖側で低い傾向がある。これはN, Pについても、また冬季にあ

ても同様である。③水深方向の分布 水中の55分が植物プランクトン由来

のものか、底泥のさきあかりによるものかをみるために、これらの指標の水

深方向の分布を10地点の平均値として表2に示しているが、相対的では比較

はともかくとして定量的にそれらの由来を区分することは難かしい。

3.4 COD生産速度、分解速度 紙面の都合上詳しく述べられないが、生産速度は次式で表現し、 $\phi_c (g COD/m^2/\text{日}) = \frac{1}{3} \times \text{酸素総生産速度} (g O_2/m^2/\text{日})$

$$= \phi_c (\frac{19.7}{3} TN \text{ or } \frac{14.3}{3} TP) \quad TN, TP (g/m^3), \text{ 計算の都合上、面}$$

積あたりと濃度を結びつけた変換係数 $\alpha (m/\text{日})$ を地図ごとに求めてみると

図11のごとくになる。夏季 0.2~3.9 (m/day) で、こののはうつきの要因を

場所的なものより、時間的なものとして、全城に係る定数として扱ってもそ

れほど無理ではなかろう。一方分解速度については $D_c (COD g/m^2/\text{日}) = \phi_c \cdot \alpha \cdot C^2$ の関係を得た。又の季節変化はあまり大きいと思われたが、分解

に係る係数は今回の調査においてはあまり季節変化は顕著ではなかった。

表1 水質各項目間の関係 (55分を主体として)

DATE	SSC			SSN			SSP			Chla			Chla			800		
	N	C	C	N	P	C	ssC	CssC	ssP	ssP	ssP	N	P	C	Chla	Chla	COD	
79.3	50	41	26	0.69	8.4							2.0	23					
a (2)				2.16	18.0							3.2	51	1.23				
79.4	50	27	33	52	0.76	4.5	0.31	44	6.8	1.7	1.5	2.1	2.1					
b (3)					1.73	9.3	0.46	27	5.1	5.0	36	1.09						
7/19	9	33	20	65	1.20	12.9	0.38	31	3.3	2.5	24							
8/23	12	29	29	36	0.68	4.6	0.29	44	6.5									
8/28	10	31	39	25	0.76	5.3	0.62	82	12.0	2.1	15							
8/30	24	35	36	29	1.53	10.0	1.16	80	11.7	3.6	3.6	0.79						
c (2)					2.44	11.8	1.30	53	11.2	5.7	49	0.96						
	ss COD, C, COD, C, D.C.			ssN, ssP			Chla, Chla			800, COD								

表2 SS成分の組成比水深方向分布

地図 種類	N ssC %	Chla ssC %	Chla ssN %	Chla ssP %	ssN ssP %	
					%	%
表層水	10	0.89	7.1	78	11.4	
中層		0.80	5.8	60	10.7	
底层		0.63	5.6	53	10.0	
溝渠層	5	0.27	2.5	21	3.6	

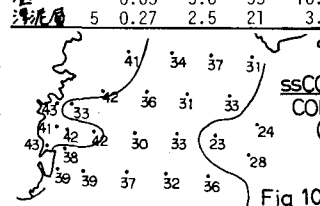


Fig 10

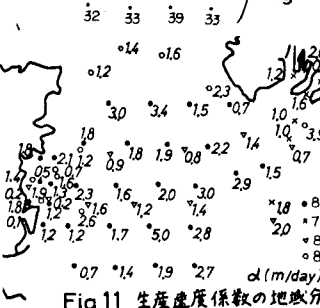


Fig 11 生産速度係数の地域分布